

高能核-核非弹性散射和炮弹核结构的影响

刘 渊 李 扬 国

(中国科学院高能物理研究所)

摘 要

在 Glauber 理论上,在刚性炮弹近似下,给出了核-核非弹性散射振幅.具体计算了 1.37GeV 的 $\alpha + C^{12}$ 非弹性散射 $2^+(4.44\text{MeV})$ 和 $3^-(9.64\text{MeV})$ 的微分截面,并讨论了炮弹核 α 的不同密度分布对散射的影响.

一、前 言

核-核散射是一个复杂的多体过程.当炮弹核的人射能量很低时,它们间以库仑相互作用为主.这时核-核散射基本上由库仑相互作用所决定.随着炮弹核的人射能量不断地增加,库仑斥力的作用逐渐减弱.当人射能量很高时,这时库仑斥力可算不起作用,炮弹核不但可打到靶核上,深入靶核内部,且可穿过靶核,带出更多的信息.显然,它们内部的结构,将对散射产生一定的影响,这是低能核-核散射中所没有的.

在核-核散射理论中,刚性炮弹近似很好地描述了它们的弹性散射.而靶核结构对弹性散射的影响也有一些讨论.在文献[1]中,还进而讨论了炮弹核不同密度分布对它们弹性散射的影响.但对高能核-核非弹性散射,这是一很复杂的问题,目前理论上讨论还较少.至于炮弹内部结构又如何影响高能核-核非弹性散射呢?这是极待讨论的问题之一.

He^4 是最轻而又稳定的原子核之一.它的自旋 $S = 0$, 同位旋 $T = 0$, 它没有低激发能谱,能传递较大的能、动量,是研究核谱的很好工具.另一方面, He^4 核的内部结构,由电子散射实验,也得到了较详细的了解.因此,用高能 $\text{He}^4 +$ 核的散射既可研究炮弹内部结构对散射影响又可研究靶核结构.在实验上, $\text{He}^4 +$ 核的弹性和非弹性散射的数据^[2],也比较完整的显示了明显的衍射花纹结构,为研究核-核碰撞提供了有力依据.

在本文中,我们先在 Glauber 理论的框架下,讨论核-核非弹性散射过程.可以看到,在刚性炮弹近似下,才能较方便地导出核-核非弹性散射振幅的表示式.然后,我们以 1.37GeV $\text{He}^4 + C^{12}$ 的非弹性散射为例,给出散射振幅的具体表示式,从中观察 α 的不同密度分布对非弹性散射的影响以及 Glauber 方法在核-核非弹过程的应用情况.

二、高能核-核非弹性散射、刚性炮弹近似和 扭曲波冲量近似

由于核-核碰撞是一个复杂的多体过程,为了便于讨论,我们采用 Glauber 理论来研

究高能核-核非弹性散射过程。当采用刚性炮弹似时,能把核-核散射转化成与一个强子-核散射的问题相等。所以,我们先简要给出高能强子-核非弹性散射的主要结果^[3]。

一个高能强子打到靶核 A 上,这时靶核由基态 $|0\rangle$ 被非弹性散射跃迁到末态 $|LM\rangle$ 的振幅 $\mathcal{F}_{LM}(q)$ 为:

$$\mathcal{F}_{LM}(q) = \frac{ik}{2\pi} \int d^2b e^{i\mathbf{q}\cdot\mathbf{b}} \left\langle LM \left| \sum_{j=1}^A r(b-s_j) - \sum_{k \neq j} r(b-s_k) r(b-s_j) + \dots \right| 0 \right\rangle \quad (1)$$

其中

$$\begin{aligned} r(b-s) &= \frac{1}{2\pi ik} \int d^2q e^{-i\mathbf{q}\cdot(\mathbf{b}-s)} f(q) \\ f(q) &= \frac{k\sigma}{4\pi} (i+\rho) e^{-\frac{1}{2}\beta^2 q^2} \end{aligned} \quad (2)$$

这里 k 是强子-靶核质心系中入射动量, q 是过程的动量传递, b 为碰撞参数, $f(q)$ 为核子-核子散射振幅, σ 为核子-核子散射总截面, s 为靶核子坐标, A 为靶核子数。

在式(1)中,如只取第一项,而忽略其余项,即

$$\begin{aligned} \mathcal{F}'_{LM}(q) &= \frac{ik}{2\pi} \int d^2b e^{i\mathbf{q}\cdot\mathbf{b}} \left\langle LM \left| \sum_{j=1}^A r(b-s_j) \right| 0 \right\rangle \\ &= A s_{LM,0}(q) f(q) \end{aligned} \quad (3)$$

这样式(3)就给出了冲量近似的结果。其中 $s_{LM,0}(q)$ 称为非弹跃迁形状因子。它表示为:

$$s_{LM,0}(q) = \frac{1}{A} \sum_{j=1}^A \int \phi_{LM}^* e^{i\mathbf{q}\cdot\mathbf{r}_j} \phi_0 \prod_{k=1}^A d^3r_k \quad (4)$$

ϕ_0 和 ϕ_{LM} 是靶核基态和激发态的多体波函数。 $s_{LM,0}(q)$ 和非弹性约化跃迁形状因子 $s_L(q)$ 的关系取为:

$$s_{LM,0}(q) = \left(\frac{4\pi}{2L+1} \right)^{\frac{1}{2}} s_L(q) Y_{LM}^*(\hat{q}) \quad (5)$$

\hat{q} 是沿 q 方向的单位矢量。

如设

$$\int \phi_{LM}^* r(b-s_j) \phi_0 \prod_{k=1}^A d^3r_k = \frac{1}{2\pi ik} \int d^2q e^{-i\mathbf{q}\cdot\mathbf{b}} f(q) s_{LM,0}(q) = \bar{\Gamma}_{LM,0}(b)$$

则式(1)可写成

$$\mathcal{F}''_{LM}(q) = A \frac{ik}{2\pi} \int d^2b e^{i\mathbf{q}\cdot\mathbf{b}} \left[\bar{\Gamma}_{LM,0}(b) - \frac{A-1}{2} \sum_{\mu} \bar{\Gamma}_{LM,\mu}(b) \bar{\Gamma}_{\mu,0}(b) + \dots \right] \quad (6)$$

这样,式(6)第一项表示了冲量近似(或称一次过程),其余项表示了色散过程(或称为多次过程)。

通常为了计算上的方便,对式(6)中中间态 μ, \dots 加以限制,只取基态,不再求和,即

只讨论弹性道对非弹性道的影响。这时,式(6)可变成:

$$\mathcal{F}_{LM}^D(q) = i \frac{Ak}{2\pi} \int d^2 b e^{i\mathbf{q}\cdot\mathbf{b}} \bar{\Gamma}_{LM,0}(b) [1 - \bar{\Gamma}_{0,0}(b)]^{A-1} \quad (7)$$

$$\begin{aligned} \bar{\Gamma}_{0,0}(b) &= \int \phi_0^* \gamma(b-s) \phi_0 \prod_{j=1}^A d^3 \gamma_j \\ &= \frac{1}{2\pi i k} \int d^2 q e^{-i\mathbf{q}\cdot\mathbf{b}} f(q) s_{0,0}(q) \end{aligned}$$

式(7)就是在 Glauber 形式下扭曲波冲量近似的表示式。它表示了一个入射强子在和靶核子碰撞的过程中,只有一次是非弹性的,使靶核激发,而其它各次碰撞均为弹性过程,不改变靶核的状态。这也称之为一次非弹性碰撞近似^[4]。由式(7)可清楚地看到,非弹性散射振幅和跃迁矩阵元的密度 $\bar{\Gamma}_{LM,0}(\mathbf{b})$ 成正比,从而和态的性质直接联系起来。式(7)中因子 $[1 - \bar{\Gamma}_{0,0}(b)]^{A-1}$ 表示了弹性道对非弹性道的扭曲,它随靶核子数的增加而增强。

现在我们在刚性炮弹近似下,将上述结果推广到核-核非弹性散射上。根据 Glauber 理论,由基态 $|0\rangle$ 跃迁到激发态 $|LM\rangle$ 的核-核非弹性散射振幅为:

$$F_{LM}^N(q) = -\frac{ik}{2\pi} \int d^2 b e^{i\mathbf{q}\cdot\mathbf{b}} \left\langle (\varphi^P \varphi^T)_{LM} \left| \prod_{i,k} [1 - \gamma(b-s_i+s_k)] \right| \varphi_0^P \varphi_0^T \right\rangle \quad (8)$$

\mathbf{k} ——在碰撞核质心系中炮弹核的入射动量, q ——碰撞核的质心系中动量传递。 φ^P 、 φ^T 分别为炮弹和靶核的波函数,它们的状态由下标所表示。

假定在散射过程中,炮弹核始终处在基态并不分成单个成分,这时式(8)可写成:

$$F_{LM}^N(q) = -\frac{ik}{2\pi} \int d^2 b e^{i\mathbf{q}\cdot\mathbf{b}} \left\langle \varphi_{LM}^T \left| \prod_{j=1}^{A_T} [1 - g(b-s_j)] \right| \varphi_0^T \right\rangle \quad (9)$$

其中

$$g(b-s) = \frac{1}{2\pi i k} \int d^2 q e^{-i\mathbf{q}\cdot(\mathbf{b}-s)} \mathcal{F}(q) \quad (10)$$

$$\mathcal{F}(q) = \frac{ik}{2\pi} \int d^2 b e^{i\mathbf{q}\cdot\mathbf{b}} \left\langle \varphi_0^P \left| 1 - \prod_i [1 - \gamma(b+s_i)] \right| \varphi_0^P \right\rangle \quad (11)$$

$\mathcal{F}(q)$ 就是炮弹核被一个靶核子弹性散射的振幅,它本身是一个多次散射振幅。所以,(9)–(11)式的物理意义是很清楚的:以炮弹核与靶核子的弹性散射振幅 $\mathcal{F}(q)$ 为出发点,再次以 Glauber 多次散射理论进行处理。它也是刚性炮弹近似下核-核非弹性散射振幅的一般表示式。在形式上式(9)和强子-核非弹性散射振幅式(1)相似,所不同之处是 $\mathcal{F}(q)$ 取代了核子-核子振幅 $f(q)$ 。所以,只要将式(3)、(7)中所含的 $f(q)$ 代以 $\mathcal{F}(q)$ 便可得高能核-核非弹性散射振幅表示式。代换后所得结果:

i) 冲量近似下核-核非弹性散射振幅

$$F_{LM}^N(q) = A_T s_{LM,0}(q) \mathcal{F}(q) \quad (12)$$

ii) 扭曲波冲量近似下:

$$F_{LM}^{DN}(q) = A_T \frac{ik}{2\pi} \int d^2 b e^{i\mathbf{q}\cdot\mathbf{b}} \bar{\Gamma}_{LM,0}^N(b) [1 - \bar{\Gamma}_{0,0}^N(b)]^{A_T-1} \quad (13)$$

其中 A_T 为靶核子数,

$$\begin{aligned}\bar{\Gamma}_{LM,0}^N(b) &= \frac{1}{2\pi i k} \int d^2 q e^{-i q \cdot b} \mathcal{F}(q) s_{LM,0}(q) \\ \bar{\Gamma}_{0,0}^N(b) &= \frac{1}{2\pi i k} \int \phi_0^* \phi_0 \prod_{j=1}^{A_T} d^3 r_j \int d^2 q e^{-i q \cdot (b-a)} \mathcal{F}(q) \\ &= \frac{1}{2\pi i k} \int d^2 q e^{-i q \cdot b} \mathcal{F}(q) s_{0,0}(q)\end{aligned}\quad (14)$$

一旦知道靶核的形状因子 $s_{0,0}(q)$ 及 $s_{LM,0}(q)$ 及 $\mathcal{F}(q)$ 便不难由式(12)和式(13)求得高能核-核非弹性散射振幅。

三、 $\alpha + C^{12}$ 非弹性散射

在本节中,我们应用式(12)、(13)给出 $\alpha + C^{12}$ 非弹性散射振幅的具体表示式. 为便于考察炮弹核不同密度分布对散射的影响,取 He^4 核的单粒子密度 $\rho(r)$ 为:

$$\rho(r) = \frac{\kappa_1^3 \kappa_2^3}{\pi^{3/2} (\kappa_2^2 - D \kappa_1^2)} (e^{-\kappa_1^2 r^2} - D e^{-\kappa_2^2 r^2}) \quad (15)$$

$\rho(r)$ 满足

$$\int \rho(r) d\tau = 1$$

当式(15)中 $D=0$ 时, $\rho(r)$ 就是通常的谐振子密度, D 的存在,不但反映了核子硬心的特点,还正确反映了电子散射所定出 α 的形状因子. 将式(15)代入式(11),经过推演,最后可得:

$$\mathcal{F}(q) = \frac{ik}{2} \sum_{n=1}^4 \sum_{m=0}^n F_{mn} e^{-f_{mn} q^2} \quad (16)$$

式中

$$\begin{aligned}F_{mn} &= -24(-1)^{m+n} p^n \frac{1}{m!(4-n)!(n-m)![(n-m)\lambda_1^2 + m\lambda_2^2]} \\ &\quad \cdot \left(\kappa_2 \frac{\lambda_1^2}{\kappa_1^2}\right)^{n-m} \left(D \frac{\kappa_1 \lambda_2^2}{\kappa_2^2}\right)^m \\ f_{mn} &= \frac{1}{4[(n-m)\lambda_1^2 + m\lambda_2^2]} - \frac{1}{16\kappa_1^2} \\ p &= \frac{\kappa_1^2 \kappa_2^2 \alpha (1 - i\rho)}{2\pi(\kappa_2^2 - D\kappa_1^2)} \\ \lambda_1^2 &= \frac{\kappa_1^2}{1 + 2\kappa_1^2 \beta^2}, \quad \lambda_2^2 = \frac{\kappa_2^2}{1 + 2\kappa_2^2 \beta^2}\end{aligned}\quad (17)$$

式(16)便是靶核子与 He^4 弹性散射的振幅. 它包含各种可能的弹性碰撞过程,共有14项. 而在式(17)的 f_{mn} 表示式中,我们已计入 He^4 核的质心修正因子.

由式(16)、(10)及(14)可求得 $\bar{\Gamma}_{LM,0}^N(b)$, 它为:

$$\bar{\Gamma}_{LM,0}^N(b) = \frac{1}{K} (-i)^M \left(\frac{4\pi}{2L+1}\right)^{\frac{1}{2}} \theta_{LM} e^{iM\varphi_b}$$

$$\cdot \int q \mathcal{F}(q) S_L(q) J_M(qb) dq \quad (18)$$

其中

$$\theta_{LM} = \begin{cases} 0 & \text{当 } L + M = \text{奇数} \\ (-1)^{\frac{L+M}{2}} \left[\frac{(2L+1)(L+M)!(L-M)!}{4\pi} \right]^{\frac{1}{2}} \frac{1}{(L+M)!!(L-M)!!} & \text{当 } L + M = \text{偶数} \end{cases}$$

$J_M(qb)$ 为 M 阶柱 Bessel 函数, $S_L(q)$ 为约化跃迁形状因子. 对 C^{12} , 根据[5], 它为:

$$S_L(q) = B_L q^L (1 - c_L q^2) e^{-\alpha_L q^2} \quad (19)$$

利用

$$\int x^\mu e^{-\alpha x^2} J_\nu(\beta x) dx = \frac{\beta^\nu \Gamma\left(\frac{\mu + \nu + 1}{2}\right)}{2^{\nu+1} \alpha^{\frac{1}{2}(\mu + \nu + 1)} \Gamma(\nu + 1)} \cdot {}_1F_1\left(\frac{\mu + \nu + 1}{2}, \nu + 1, -\frac{\beta^2}{4\alpha}\right)$$

及

$${}_1F_1(\alpha, \beta, x) = e^x {}_1F_1(\beta - \alpha, \beta, -x)$$

这时可将式(18)能析积出. 结果为:

$$\begin{aligned} \Gamma_{LM,0}^N(b) &= \frac{1}{2} (-i)^M e^{-iM\varphi_b} B_L \left(\frac{4\pi}{2L+1}\right)^{\frac{1}{2}} \theta_{LM} \sum_{n=1}^L \sum_{m=0}^n F_{mn} \\ &\cdot \frac{b^M \left(\frac{L+M}{2}\right)!}{(2M)!! (\alpha_L + f_{mn})^{\frac{L+M+2}{2}}} \left\{ {}_1F_1\left(\frac{M-L}{2}, M+1, \frac{b^2}{4(\alpha_L + f_{mn})}\right) \right. \\ &- c_L \frac{L+M+2}{2(\alpha_L + f_{mn})} {}_1F_1\left(\frac{M-L-2}{2}, M+1, \frac{b^2}{4(\alpha_L + f_{mn})}\right) \left. \right\} \\ &\cdot \exp\left[-\frac{b^2}{4(\alpha_L + f_{mn})}\right] = (-i)^M e^{-iM\varphi_b} \bar{\Gamma}_{LM}^N(b) \end{aligned} \quad (20)$$

如将上式中以 $L=0, M=0$ 代入便得 $\Gamma_{0,0}^N(b)$. 有了 $\Gamma_{0,0}^N(b)$ 和 $\bar{\Gamma}_{LM,0}^N(b)$, 代入式(12)和(13)便得 $\text{He}^4 + C^{12}$ 非弹性散射振幅. 其结果分别为:

i) 冲量近似下

$$F_{LM}^{IN'}(q) = 12 \left(\frac{4\pi}{2L+1}\right)^{\frac{1}{2}} \theta_{LM} e^{-iM\varphi_q} S_L(q) \mathcal{F}(q) \quad (21)$$

ii) 扭曲波冲量近似

$$\begin{aligned} F_{LM}^{DN'}(q) &= 12K (-i)^{M-1} e^{-iM\varphi_q} \int b J_M(qb) \Gamma_{LM}^{N'}(b) \\ &\cdot [1 - \Gamma_{0,0}^N(b)]^{11} \end{aligned} \quad (22)$$

非弹性散射微分截面为

$$\frac{d\sigma}{d\Omega} = \sum_M |F_{LM}^{IN'}(q)|^2 \quad (23a)$$

$$\frac{d\sigma}{d\Omega} = \sum_M |F_{LM}^{DN'}(q)|^2 \quad (23b)$$

(23a) 和 (23b) 分别为冲量近似和扭曲波冲量近似的结果.

四、计算结果和讨论

利用上节的结果,我们计算了 1.37GeV 下 He^4 引起 C^{12} 核非弹性跃迁到 2^+ 态 (4.43 MeV) 和 3^- 态 (9.64 MeV) 两个态的非弹性散射微分截面.

在上面的推导中,由于使用了刚性炮弹近似,所以式(16)必须很好地描述 1.37GeV 的 He^4 被一个核子所弹性散射的现象. 在这情况下,核子-核子振幅的各参数分别取^[6] $\sigma = 2.84 \text{ fm}^2$, $\rho = 0.26$, $\beta^2 = 0.045 \text{ fm}^2$.

而 He^4 符合电子散射实验所定出形状因子的单粒子密度,根据[8],可取 $\kappa_1^2 = 0.72 \text{ fm}^{-2}$, $\kappa_2^2 = 3.6 \text{ fm}^{-2}$, $D = 1$.

C^{12} 的约化跃迁形状因子,根据[5],各参数 B_L , C_L 及 α_L 分别取如下值:

$L^*T(E)$	$B_L(\text{fm}^L)$	$C_L(\text{fm}^2)$	$\alpha_L(\text{fm}^2)$
$0^+0(0)$	1	0.296	0.681
$2^+0(4.43)$	0.364	0.141	0.703
$3^-0(9.64)$	0.224	0.141	0.703

利用上述各参数值,我们首先计算了 1.37GeV $\text{He}^4 + \text{C}^{12}$ 弹性散射的微分截面. 在图 1 中给出了理论和实验结果. 在小角度范围内,理论结果与实验值的符合是相当令人满意的. 因此,在此基础上,利用式(21), (22) 及 (23),取 He^4 的单粒子密度 $D = 0$ 和 $D = 1$

两种不同的分布,计算了 C^{12} 的两个不同激发态的微分截面. 计算结果如图 2 所示. 实验数值均取自文献[2].

为了说明冲量近似和扭曲波冲量近似的差异,在图 3 中我们还给出了在两种不同近似下所得 C^{12} 的非弹性微分截面.

在这些计算中,核子-核子散射振幅的参数由符合 $\text{He}^4 + N$ 的弹性散射实验而定的. 此外既没有自由参数,也没有可调参数. 对于进行碰撞的原子核,我们使用的是由电子散射实验所定出的约化跃迁形状因子,所以理论结果和核模型无关. 由图 2 可见,除去大角度处外,总的来说,理论结果与实验值的符合是相当令人满意的. 这表明:在处理高能核-核非弹性散射中,刚性炮弹近似是处理核-核碰撞的一个好的近似方法.

从上面的推导中可见,冲量近似是多次碰撞中的一次碰撞近似. 由图 3 可见,冲量近似的结果与实验值相差很大. 在计入多次散射后,符合程度显著改善. 这表明:即使在高能下,多次散射过程仍

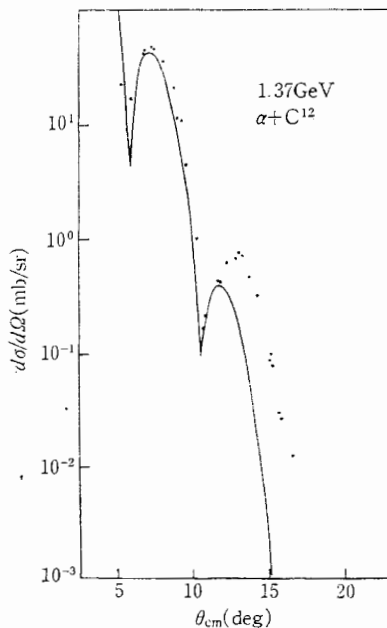


图 1 1.37GeV $\alpha + \text{C}^{12}$ 弹性散射微分截面曲线.

“●”为实验数据,实线为计算结果.

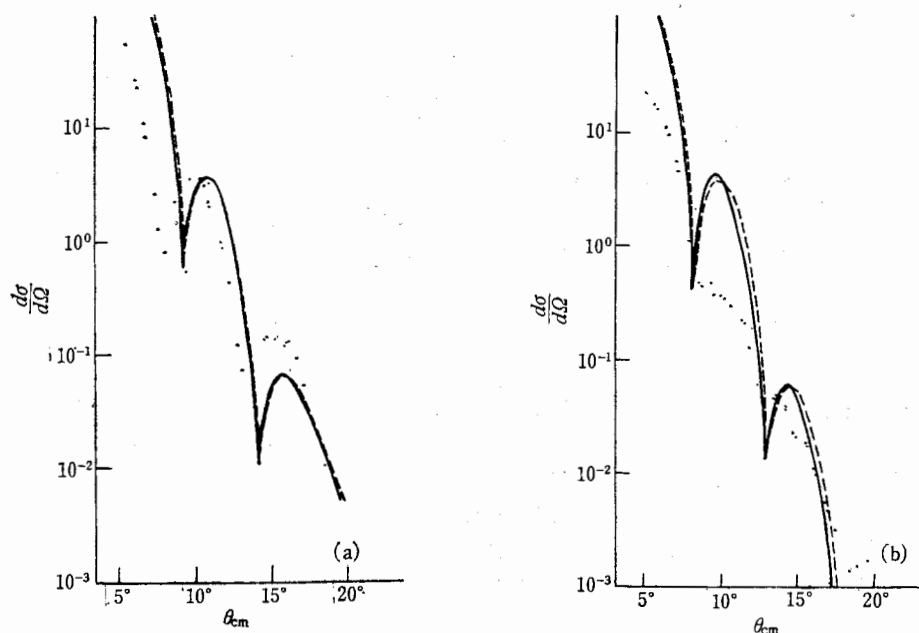


图 2 1.37 GeV $\alpha + C^{12}$ 非弹性散射微分截面。

点为实验数据,实线和虚线分别表示 $D=1$ 和 $D=0$ 的计算结果。

(a) 2^+ 态 (4.43 MeV) (b) 3^- 态 (9.64 MeV)

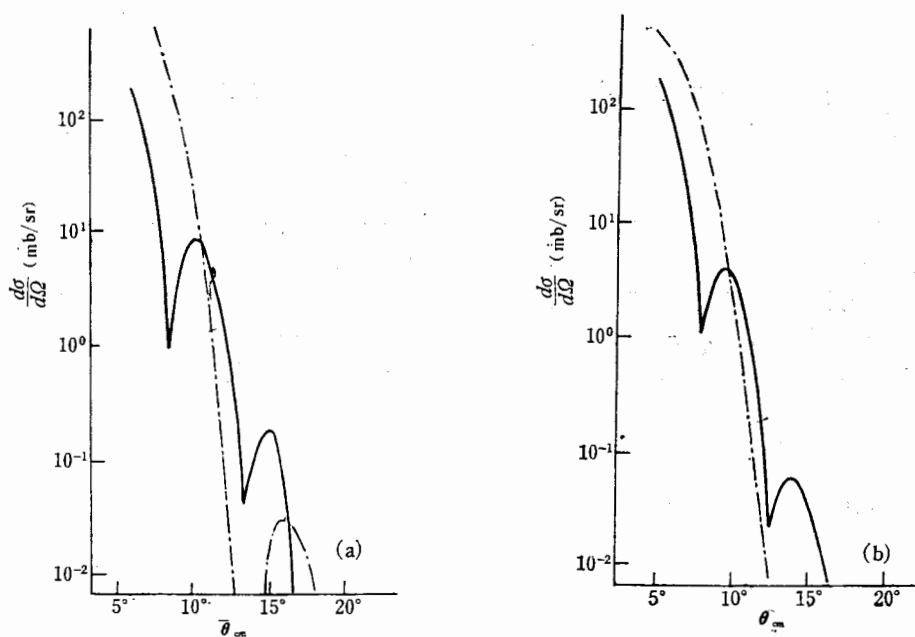


图 3 冲量近似 (IA) 和扭曲波冲量近似 (DWIA) 所得微分截面的比较。取 $D=1$ 。

实线为 DWIA 的结果,点划线为 IA 的结果。

(a) 2^+ 态 (4.43 MeV) (b) 3^- 态 (9.64 MeV)

是很重要的。

此外还可见：1) 非弹性散射微分截面强烈依赖跃迁矩阵元，而对炮弹 He^4 不同密度分布不敏感，基本上给出了相同的结果，差别不大。另还再次反映了散射的强弱与靶(或炮弹核)核密度成正比。即核密度愈密(即 $D = 0$)，微分截面的峰谷愈向大角度处移动，反之(即 $D = 1$)，以小角散射为主。2) 由图 1、2 可见，在大角度处，无论弹性散射或非弹性散射，理论结果与实验值的定量符合均较差。这是意料中的事。如计入其它多步过程以及 C^{12} 激发态的集体性质等将会改进定量符合。

参 考 文 献

- [1] 孔蕃信等人, 高能物理与核物理, 8(1984), 707.
- [2] A. Chaumeaux, et al, *Nucl. Phys.*, A267 (1976), 413.
- [3] H. Arenhövel, *Nucl. Phys.*, A358(1981), 7.
- [4] K. M. Watson, *Phys. Rev.*, 89(1953), 575.
- [5] R. D. Viollier, *Ann. of Phys.*, 93(1975), 335.
- [6] E. Aslanides et al., *Phys. Lett.*, 68B (1977), 221.
- [7] J. P. Anger, *Nucl. Phys.*, 262 (1976), 372.

NUCLEUS-NUCLEUS INELASTIC SCATTERING AND THE INFLUENCE OF PROJECTILE NUCLEI STRUCTURE AT HIGH ENERGIES

LIU YUAN LI YANG-GUO

(Institute of High Energy Physics, Academia Sinica)

ABSTRACT

On the base of Glauber's theory, nuclei-nuclei inelastic scattering amplitudes are given by using the rigid projectile approximation. Inelastic scattering differential cross sections of $\alpha + \text{C}^{12}$ at 1.37 GeV with 2^+ (4.43 MeV) and 3^- (9.64 MeV) of C^{12} in the final state are calculated. The influence of the different density distributions of the projectile nuclei on nuclei-nuclei inelastic scattering is discussed.